

虚血性心疾患における dipyridamole による 心筋スキャンと体表面電位図との対比検討

野田 隆志,* 西田 哲也,* 寺川 俊典,* 森下 大樹*
広田 悟志,* 広瀬 龍吉,* 杉本 尚樹,* 高田 重男*
池田 孝之,* 服部 信,* 滝 淳一,** 南部 一郎***
中嶋 憲一,** 分校 久志,** 久田 欣一***

虚血性心疾患患者におけるジピリダモール負荷試験の有用性^{1,2,3)}について、体表面電位図（以下 Map）及び、²⁰¹Tl 心筋シンチグラフィを行い対比検討した。

【対象と方法】対象は 2 枝或いは 3 枝に 75% 以上の有意の狭窄を有する虚血性心疾患患者の 3 例とした。Map は帝人社製カルディオビジョンを用い、電位を仰臥位安静呼気位にて記録し、Isopotential Map を作製した。運動負荷 Map は仰臥位自転車エルゴーメータを用い、多段階に至最大負荷を行い、Map を記録した。ジピリダモール負荷 Map はジピリダモールを 1 分間 0.142mg/kg の割合で 4 分間静注し、記録した。³⁾ ST の電位は J 点より 60msec にて計測し、ST Map を作製した。運動負荷タリウム心筋エミッション CT は仰臥位自転車エルゴーメータ多段階負荷により、胸痛発作または心電図上で 0.1mV 以上の ST 低下を end point とし、タリウムを 3 mCi 静注後、1 分間運動負荷を行った。ジピリダモール負荷²⁰¹Tl 心筋エミッション CT は、ジピリダモールを 1 分間 0.142 mg/kg の割合で 4 分間静注し、胸痛発作または 0.1 mV 以上の ST 低下が出現した際に、タリウムを静注し記録した。

【結果】図 1 上に症例 1 の Map を示した。左側の Ergometer 負荷後の Map では、運動負荷により ST Map の変化は認められていないが、ジピリダモール負荷では、control に比べ左側胸部から胸壁下部の誘導に広く ST 低下領域の出現を認めた。図 1 下は症例 1 の²⁰¹Tl 心筋シンチグラフィであるが運動負荷では前壁に redistribution を伴う集積低下を認めたのに対し、ジピリダモール負荷では同部位に運動負荷時のそれより著しい集積低下の所見が認められた。本症例の冠動脈造影では Seg 6 に完全閉塞を、Seg 11 に 90% 狹窄を認めた。図 2 上に症例 2 の Map を示す。運動負荷の

Map では、control に比べ左前胸部誘導から側胸部に広く ST 低下領域が出現した。これに対し、ジピリダモール負荷 Map では負荷前後で明らかな変化がなかった。本症例の²⁰¹Tl 心筋シンチグラフィを図 2 下に示すが、運動負荷及びジピリダモール負荷ともに明らかな変化がなかった。しかし、ジピリダモール負荷後に心尖部から観察すると、前壁からのタリウムの washout が遅延しているのが認められた。本症例の冠動脈造影では Seg 4, 6, 9 に 90% の狭窄が明らかにされている。症例 3 の Map を図 3 上に示す。安静時すでに左側胸部領域に ST 低下領域を認めるが、運動負荷及びジピリダモール負荷のいずれにおいても左側胸部の ST 低下領域は拡大し、また ST 低下度も増加した。本症例の²⁰¹Tl 心筋シンチグラフィを図 3 下に示す。運動負荷により前壁から側壁にかけて redistribution を伴う集積低下が認められたが、ジピリダモールにより前壁から側壁、下壁にかけて一過性欠損像が見られ、運動負荷に比べより広範な虚血の存在が認められた。本症例は冠動脈造影上 Seg 1, 2, 6 及び 11 に 75~99% の狭窄があり、Seg 4 及び 7 に AC bypass 術が施行されている。

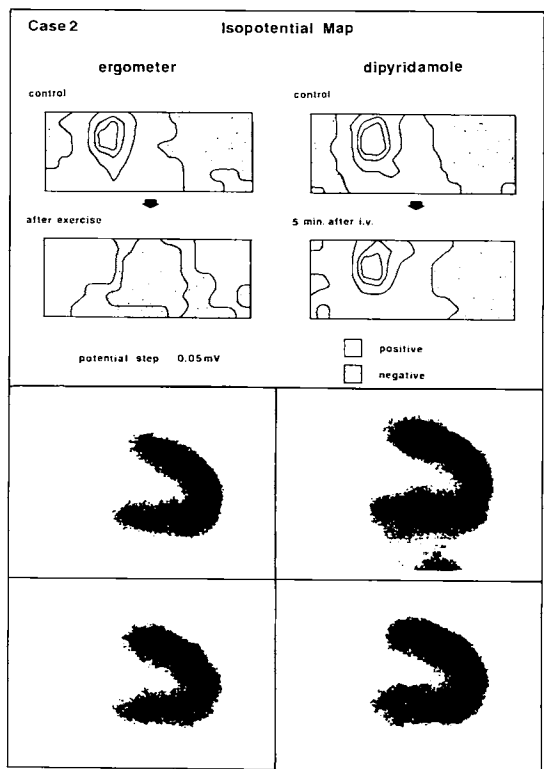
【考察ならびに結語】運動負荷法は、冠動脈疾患の診断の方法として有用とされているが、手技が煩雑なこと、下肢の十分な筋力を必要とすること、十分に側副血行路の発達した症例では必ずしも虚血を生じないことなどより限界があると考えられる。これに対し、ジピリダモールは選択的に冠動脈を拡張させ、側副血行路からの盗血現象を介して、病変冠動脈灌流域に虚血を誘発することが知られており、⁴⁾ 本負荷試験は手技の簡便さ、安全性からも注目を集めている。我々は、ジピリダモール負荷法と運動負荷法を Map と²⁰¹Tl 心筋シンチグラフィについて、3 例において対比検討をしたが、必ずしも全例で成績が一致したわけではなく、今後症例数を重ねて検討する必要があると考えた。

*金沢大学 第一内科
** 同 核医学科

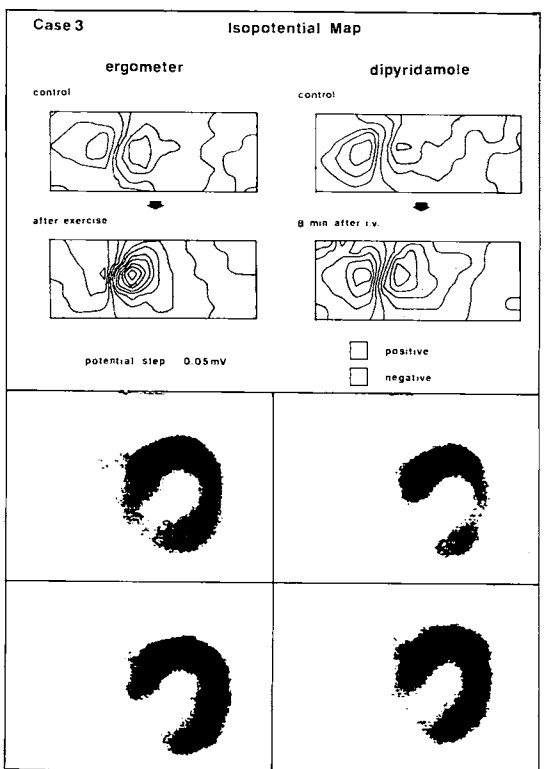
文献

1. Gould KL: Noninvasive assessment of coronary stenoses by myocardial perfusion imaging during pharmacologic coronary vasodilatation. I. Am J Cardiol 41: 267, 1978.
2. Gould KL et al.: Noninvasive assessment of coronary stenoses by myocardial imaging during pharmacologic coronary vasodilatation. II. Clinical methodology and feasibility. Am J Cardiol 41: 279, 1978.
3. Albro PC et al.: Noninvasive assessment of coronary stenoses by myocardial imaging during pharmacologic coronary vasodilatation. III. Clinical trial. Am J Cardiol 42: 751, 1978.
4. Feldman RL et al.: Acute effect of intravenous dipyridamole on regional coronary hemodynamics and metabolism. Circulation 64: 333, 1981.

Subjects					
Case	Age	Sex	Diagnosis	CAG	
1. K.K.	67	M	OMI (ant.) + A.P.	2V.D.	No. 6 100% No. 11 90% collateral (+)
2. W.Y.	52	M	A.P.	2V.D.	No. 4PD 90% No. 6 90% No. 9 90%
3. C.K.	64	M	A.P.	3V.D.	No. 1 75% No. 2 99% No. 6 75% No. 11 90% collateral (+)



▲図2



▲図3

▲図1